

บทที่ 5

การทดสอบการทำงานและเปรียบเทียบสมรรถนะของระบบควบคุม

การทดสอบการทำงานของระบบควบคุมที่ออกแบบในงานวิจัย และเปรียบเทียบผลกับระบบควบคุมชนิดอื่น ได้แก่ ระบบควบคุมที่ออกแบบโดย Liu และ Lin และระบบควบคุมที่ออกแบบโดย Goldenberg et al. แบ่งการทดสอบออกเป็น

1. ในสถานะไม่มีโหลด
2. มีการรบกวนต่อระบบเนื่องจาก โหลดเปลี่ยนแปลงทันทีแบบเป็นขั้น (step)

ข้อมูลในการจำลองแบบ

แบบจำลองแขนหุ่นยนต์ซึ่งใช้ทดสอบด้วยการจำลองเชิงเลข ดังรูปที่ 4.1 มีพารามิเตอร์ดังนี้

มวลของลิงก์ที่ 1 : $m_1 = 1.5$ กิโลกรัม

มวลของลิงก์ที่ 2 : $m_2 = 1.5$ กิโลกรัม

ความยาวลิงก์ที่ 1 : $l_1 = 0.5$ เมตร

ความยาวลิงก์ที่ 2 : $l_2 = 0.5$ เมตร

ในการทดสอบ ใช้คาบเวลาการสุ่ม $T = 0.01$ วินาที ตำแหน่งอ้างอิงในการเคลื่อนที่ของแขนหุ่นยนต์เป็นฟังก์ชัน cycloid ดังรูปที่ 4.3 โดยเริ่มจากตำแหน่งหยุดนิ่งคือ มุม $q_1 = q_2 = 0$ ไปยังตำแหน่งสุดท้ายคือ $q_1 = 20$ และ $q_2 = -20$ ภายในเวลา 2 วินาที หลังจากนั้นจะคงอยู่ที่ตำแหน่งเดิม

ในสถานะที่มีการรบกวนเนื่องจากโหลดเกิดขึ้น จำลองแบบโดยให้มวลของลิงก์ที่ 2 เพิ่มขึ้นทันทีอีก 0.5 กิโลกรัม เมื่อเวลาผ่านไป 0.5 วินาที

ตัวควบคุมทุติยภูมิของระบบควบคุมในงานวิจัย กำหนดให้อันดับของโพลีโนเมียล $A_i(z^{-1})$, $B_i(z^{-1})$ และ $B_{ij}(z^{-1})$ คือ $N_{ai} = 2$, $N_{bi} = 2$, $N_{bij} = 0$ ตามลำดับ และ $d_i = 1$, $d_{ij} = 2$ ตัวควบคุมทุติยภูมิของระบบควบคุมที่ออกแบบโดย Liu และ Lin กำหนดเช่นเดียวกัน

การทดสอบระบบควบคุมที่ออกแบบในงานวิจัย

การทดสอบการทำงานของระบบควบคุม ทดสอบในสถานะที่โหลคมีการเปลี่ยนแปลง โดยกำหนดค่าต่างๆ ในตอนเริ่มต้นดังนี้

ตัวควบคุมปฐมภูมิ กำหนดให้

$$\text{forgetting factor } \rho = 0.96$$

การเดาค่าเริ่มต้นของวิธีประมาณค่า ตามสมการ (3.1.14) โดยกำหนด

$$\text{เมตริกซ์ } P(0) = 200I, \quad \text{เมตริกซ์ } A = [1]$$

$$\text{และ เวกเตอร์ } Z^T(0) = [0 \ 0 \ \dots \ 0]^T$$

ตัวควบคุมทุติยภูมิ กำหนดให้

$$\rho = 0.945$$

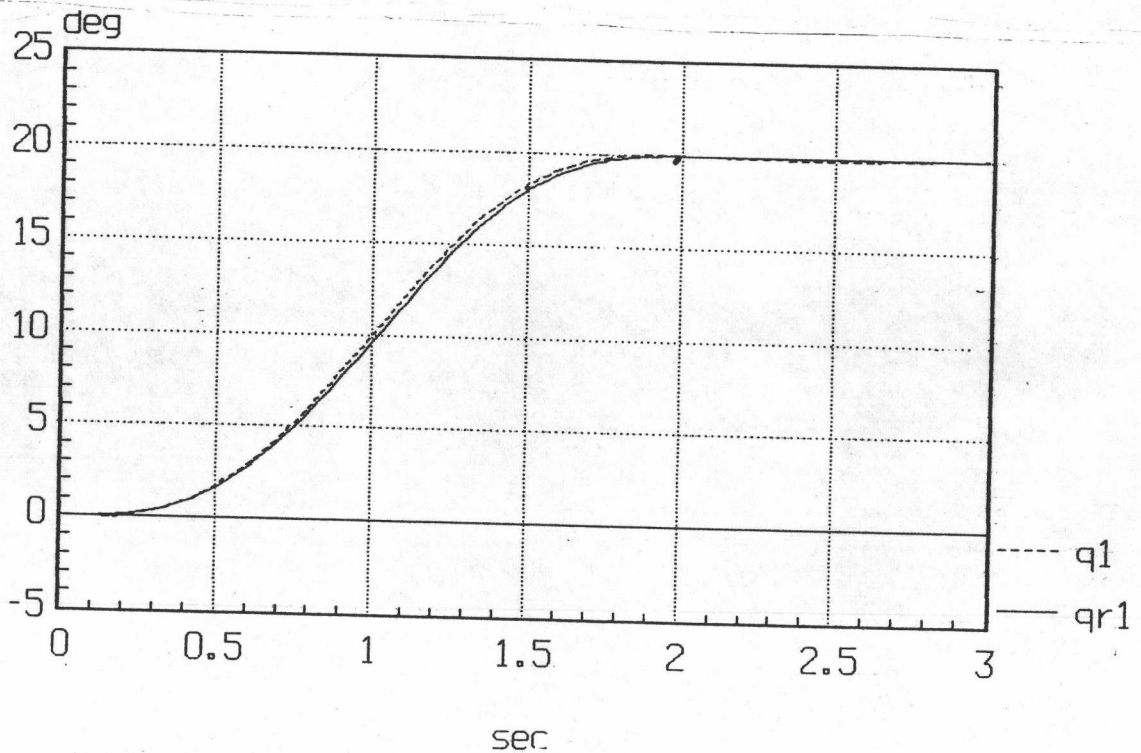
$$\text{โพลีโนเมียลนำหนักถ่วง } R_f(z^{-1}) = 1 - 0.9z^{-1} \text{ และ } W_f(z^{-1}) = 0.0049$$

การเดาค่าเริ่มต้นของวิธีประมาณค่า ตามสมการ (3.2.14) กำหนดให้

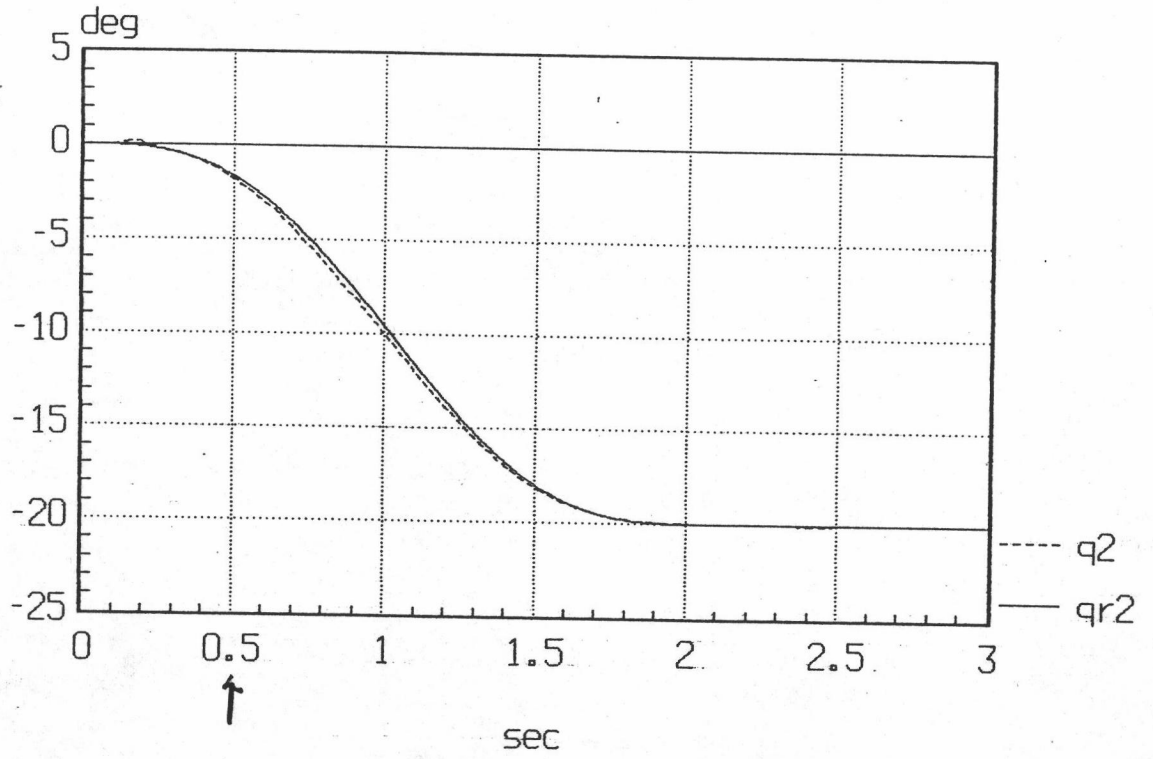
$$\text{เมตริกซ์ } P_f(0) = 1e^6 I, \quad \text{เวกเตอร์ } \alpha_f^T(0) = [0 \ 0 \ \dots \ 0]$$

$$\text{และ เวกเตอร์ } \theta_f^T(0) = [1 \ 1 \ \dots \ 1]$$

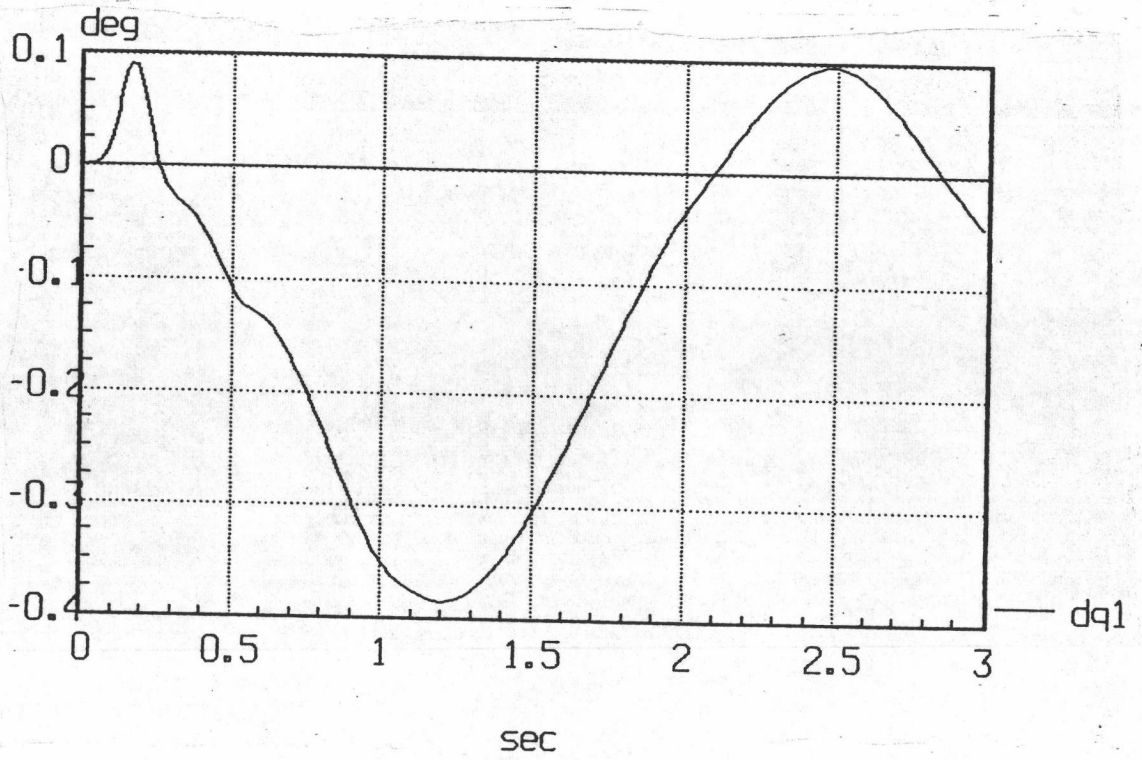
ผลการทดลองแสดงดังรูปต่อไปนี้



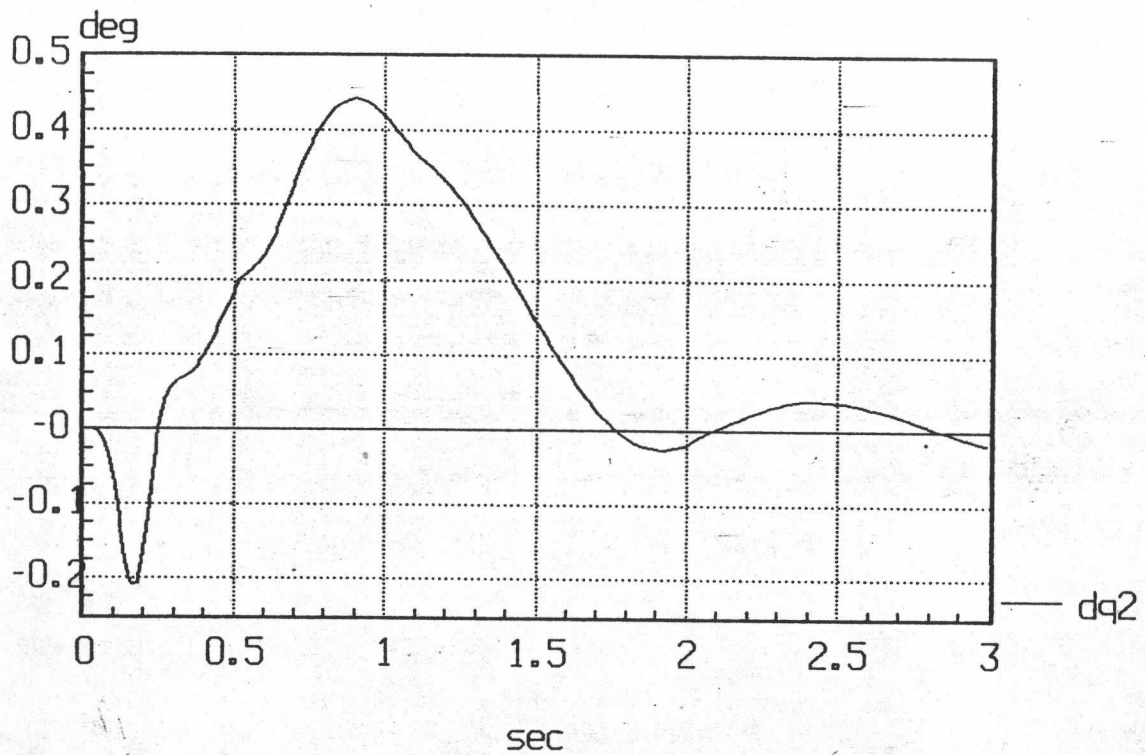
รูปที่ 5.1 การเคลื่อนที่ติดตามตำแหน่งอ้างอิงของข้อที่ 1



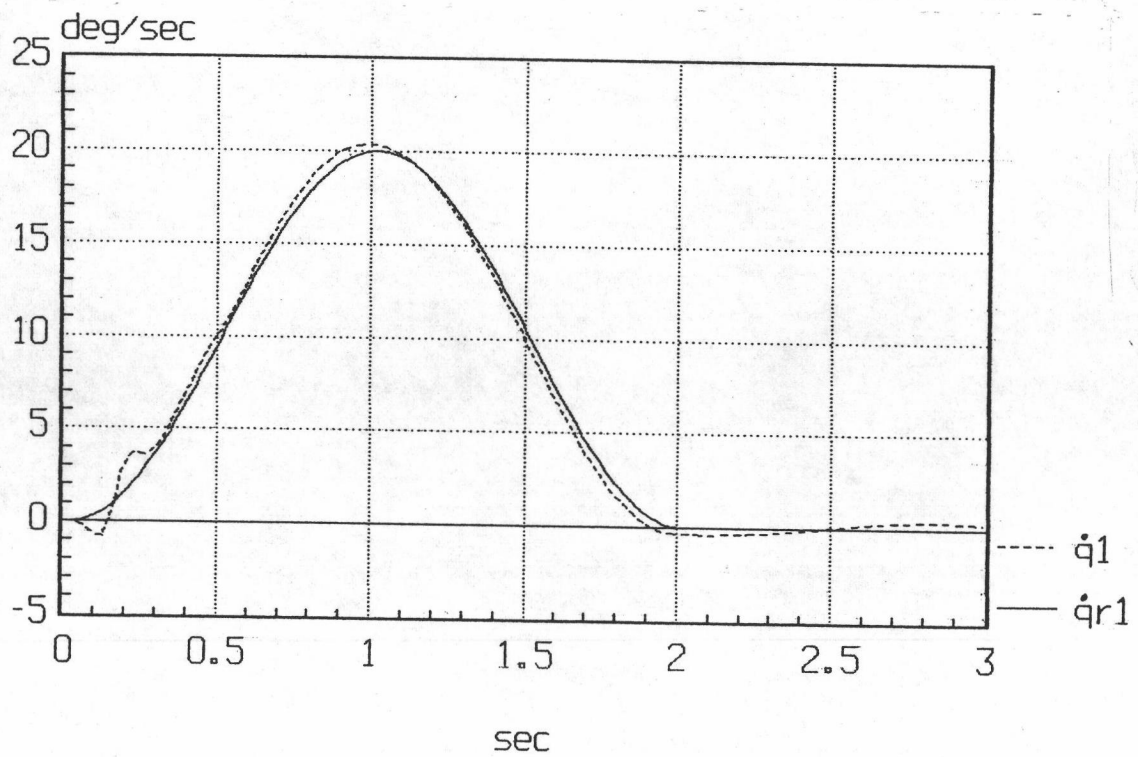
รูปที่ 5.2 การเคลื่อนที่ติดตามตำแหน่งอ้างอิงของข้อที่ 2



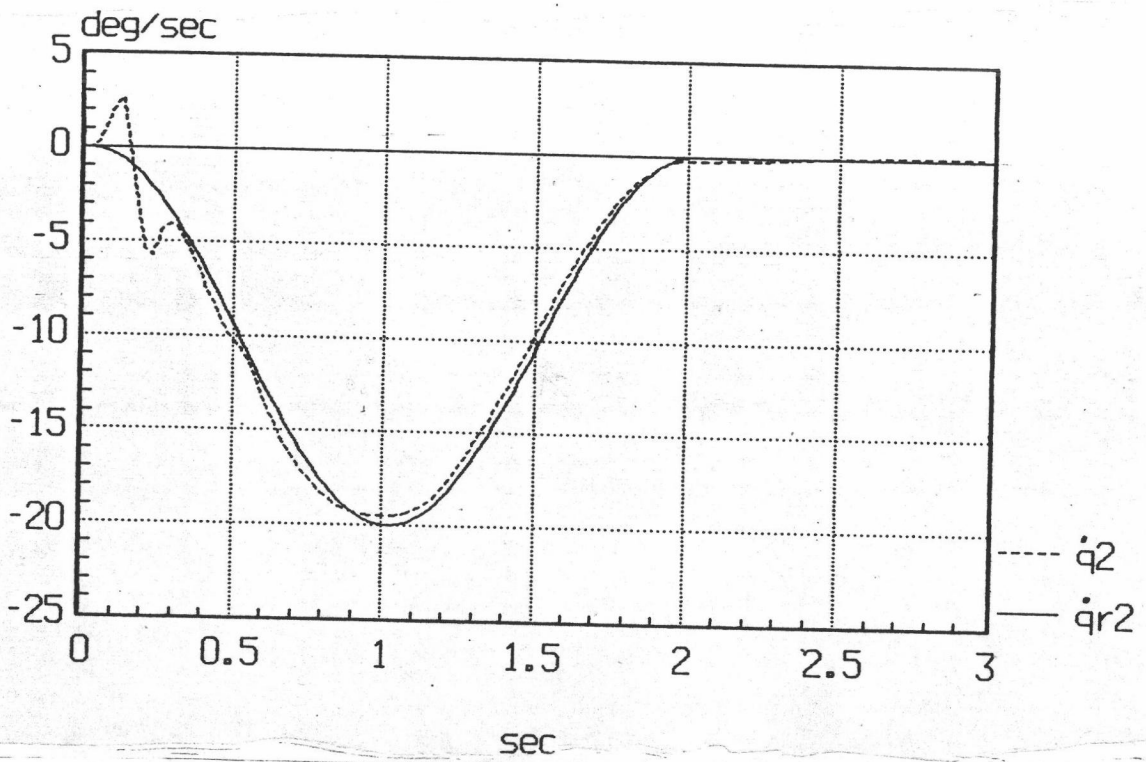
รูปที่ 5.3 ตำแหน่งคลาดเคลื่อนของข้อที่ 1



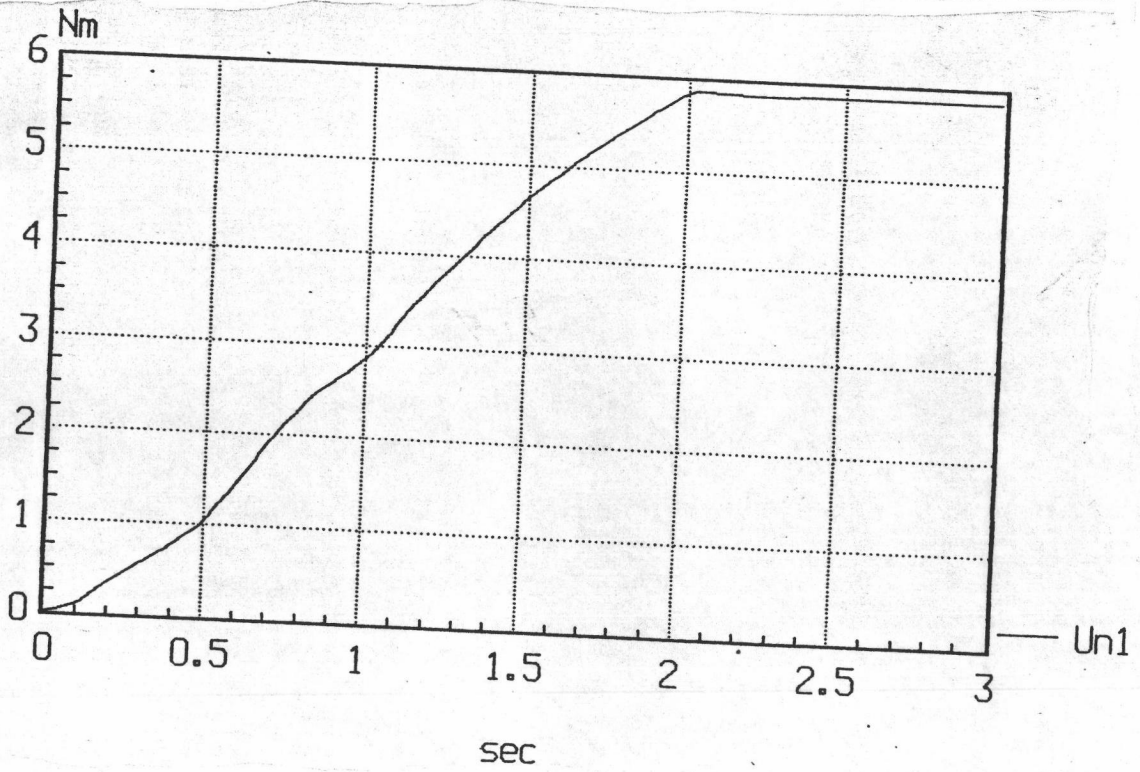
รูปที่ 5.4 ตำแหน่งคลาดเคลื่อนของข้อที่ 2



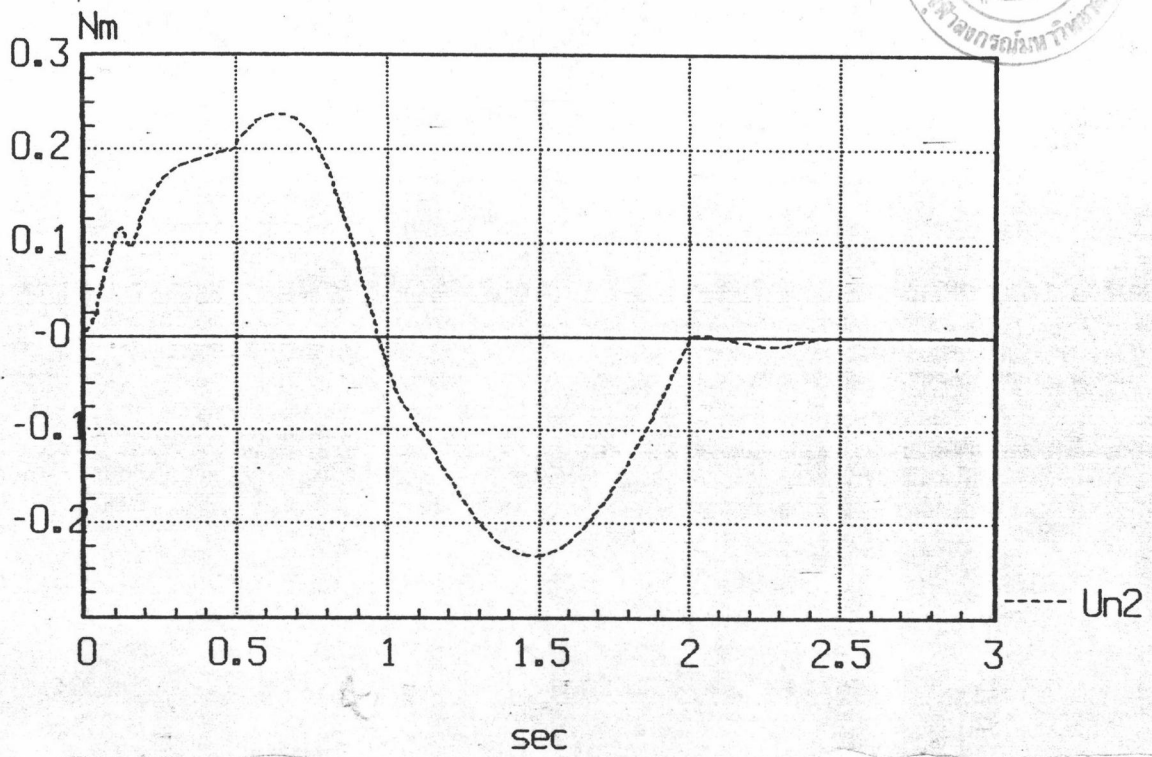
รูปที่ 5.5 การติดตามความเร็วอ้างอิงของข้อที่ 1



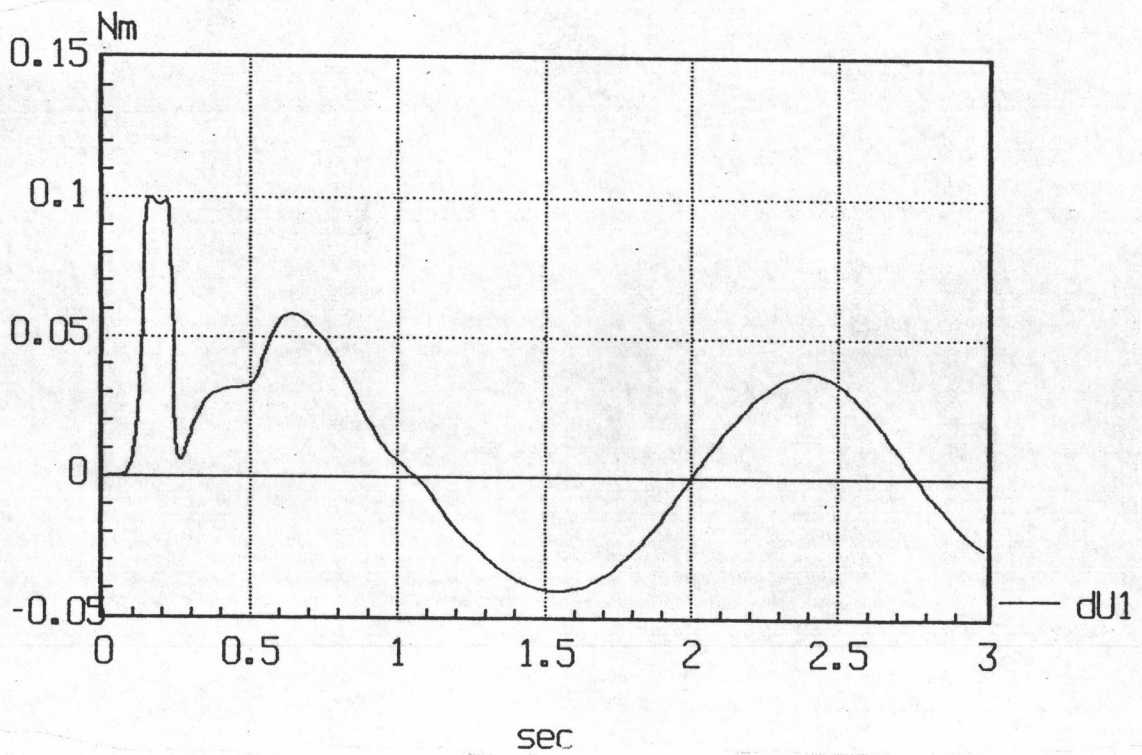
รูปที่ 5.6 การติดตามความเร็วอ้างอิงของข้อที่ 2



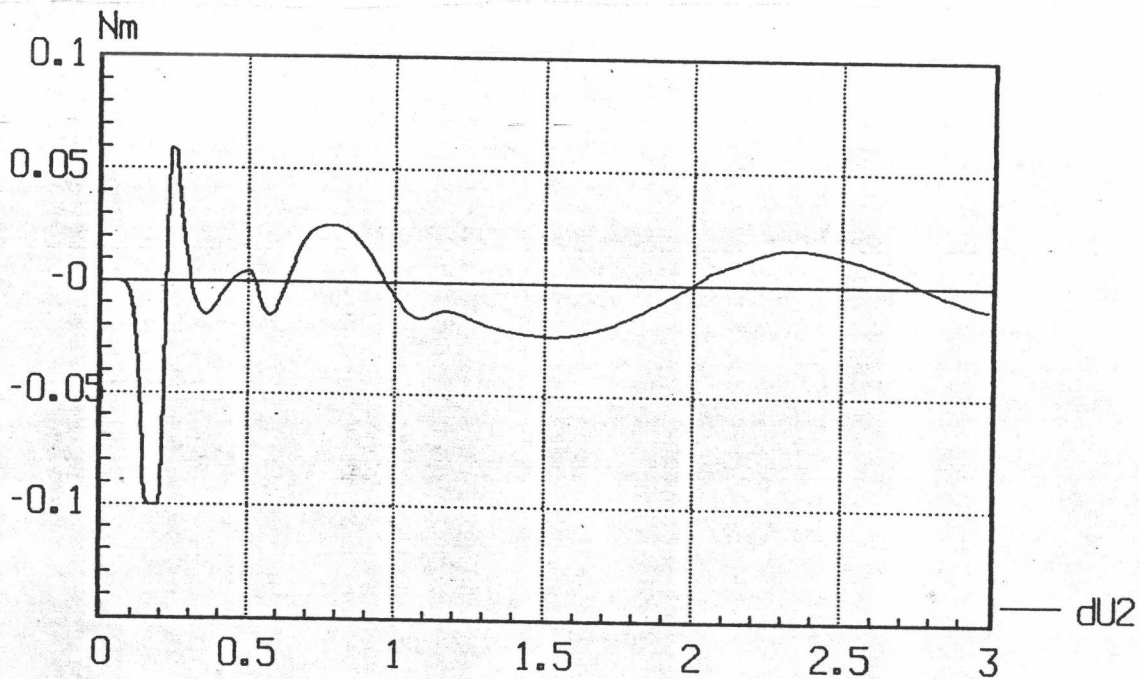
รูปที่ 5.7 แรงบิดที่ระบุของข้อที่ 1



รูปที่ 5.8 แรงบิดที่ระบุของข้อที่ 2



รูปที่ 5.9 แรงบิดเพื่อชดเชยความคลาดเคลื่อนของข้อที่ 1



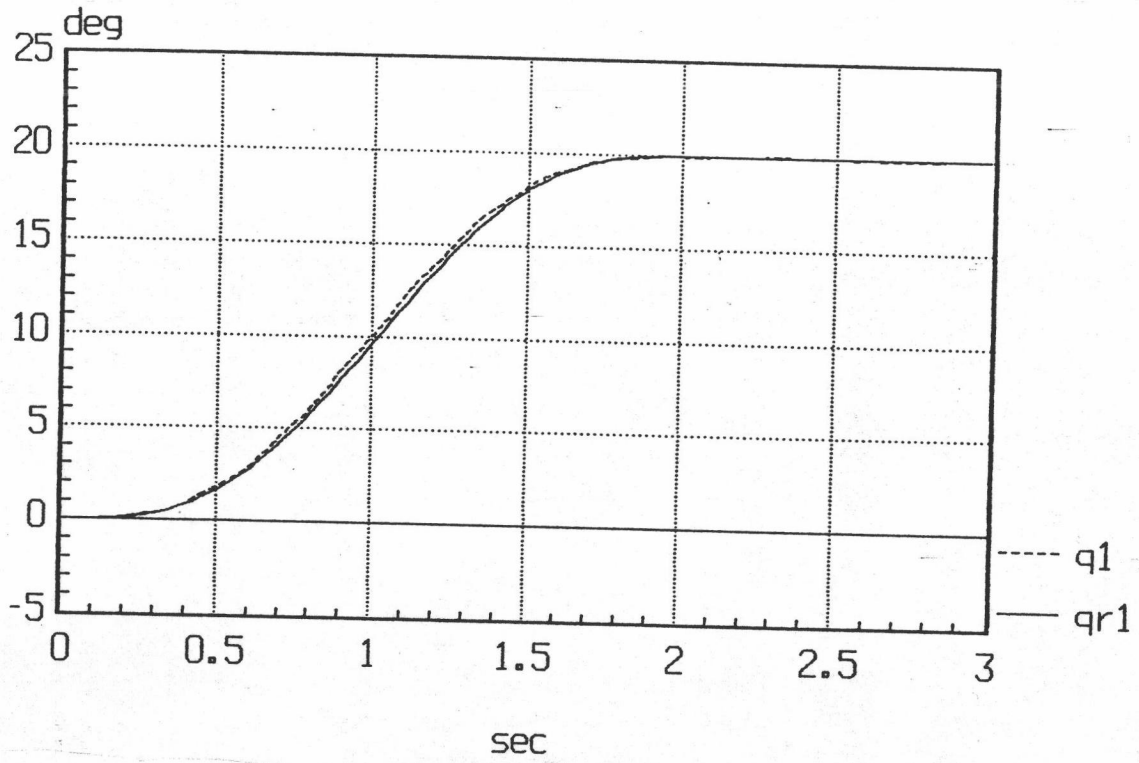
รูปที่ 5.10 แรงบิดเพื่อชดเชยความคลาดเคลื่อนของข้อที่ 2

จากรูปที่ 5.3 และ 5.4 ซึ่งแสดงตำแหน่งคลาดเคลื่อน และรูปที่ 5.5 และ 5.6 ซึ่งแสดงการติดตามความเร็วอ้างอิง จะเห็นได้ว่าในช่วงเริ่มต้น มีความผิดพลาดของการเคลื่อนที่มากอย่างสังเกตเห็นได้ชัด ทั้งนี้เนื่องจากตัวควบคุมชนิดปรับตัวเอง ต้องเดาค่าพารามิเตอร์เริ่มต้นดังที่กล่าวมาแล้ว ซึ่งมักไม่ทราบค่าที่แท้จริง แต่อย่างไรก็ตาม กลไกปรับตัวเองในการประมาณค่า สามารถปรับค่าพารามิเตอร์ให้เข้าสู่ค่าที่แท้จริงอย่างรวดเร็ว ทำให้ความผิดพลาดเนื่องจากการเดาค่าเริ่มต้นลดลงอย่างรวดเร็ว ดังที่เห็นในรูป

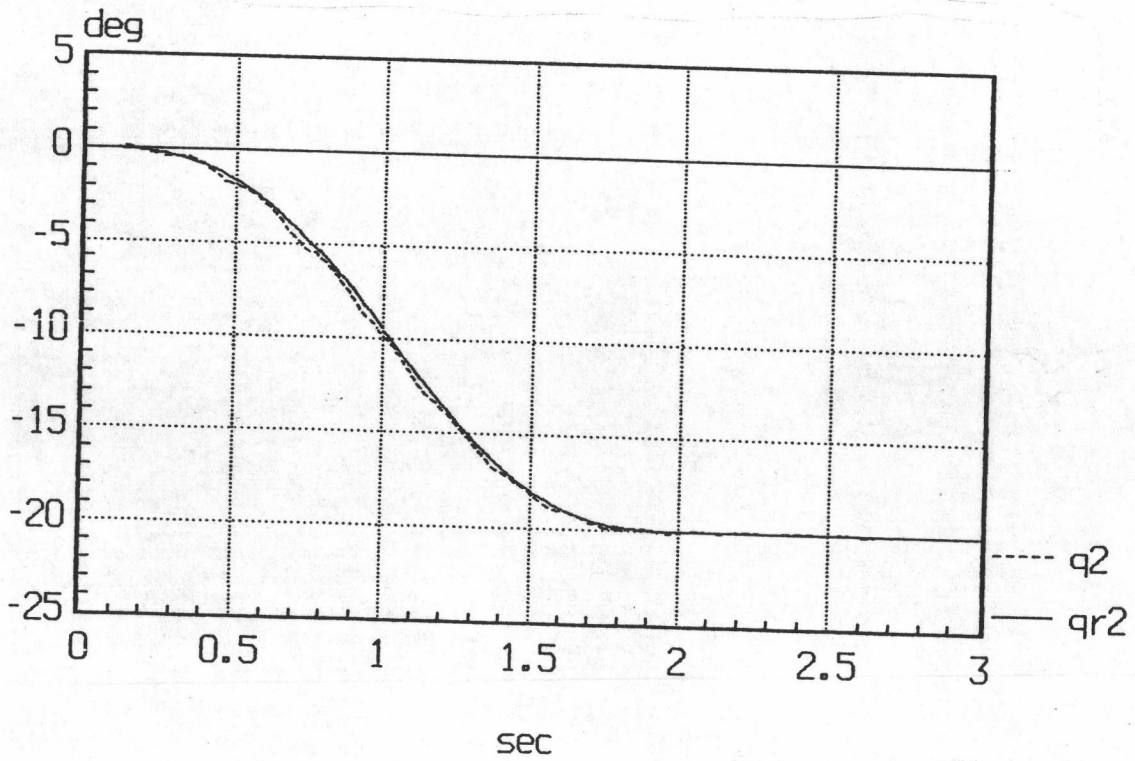
เนื่องจากระบบควบคุมชนิดปรับตัวเอง ต้องกำหนดค่าพารามิเตอร์บางอย่างเองตามความเหมาะสม จึงทดลองเปลี่ยนค่าบางค่าดังนี้

กำหนดให้ โพลีโนเมียลน้ำหนักถ่วงในกรณีสมรรถนะของตัวควบคุมทุติยภูมิ คือ $R_f(z^{-1}) = 1 - 0.05z^{-1}$, $w_1(z^{-1}) = 0.005$ และ $w_2(z^{-1}) = 0.008$

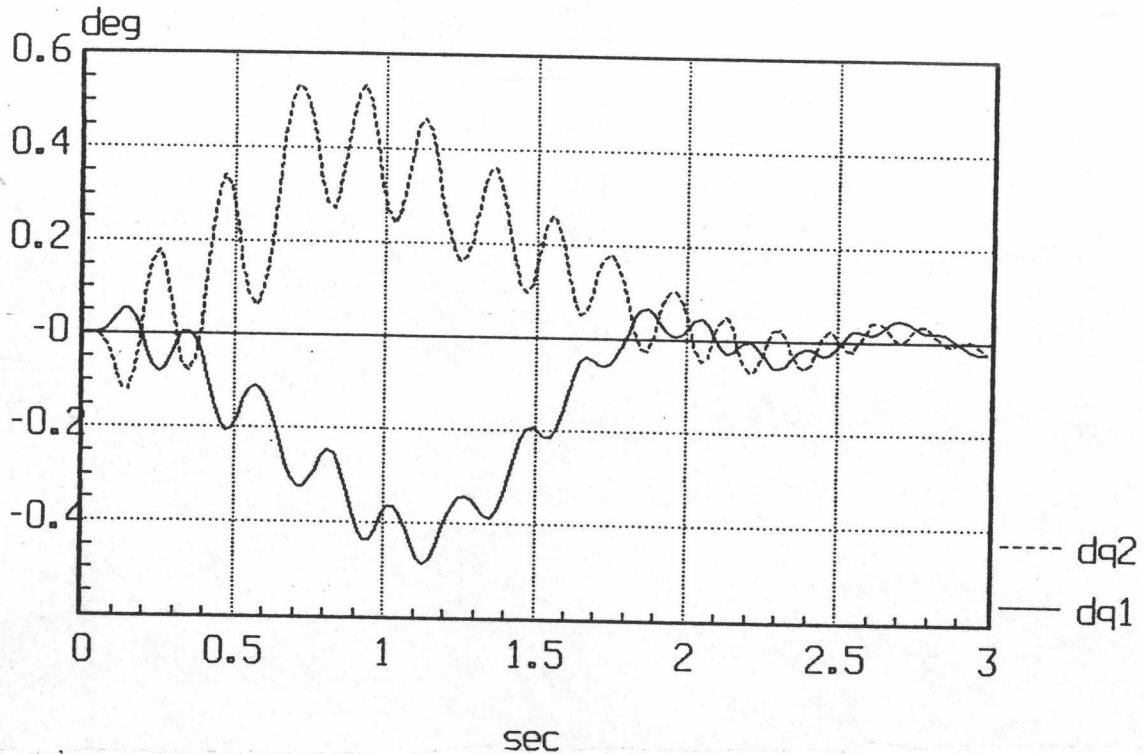
ผลการทดลองแสดงดังรูปต่อไปนี้



รูปที่ 5.11 การเคลื่อนที่ที่ติดตามตำแหน่งอ้างอิงของข้อที่ 1



รูปที่ 5.12 การเคลื่อนที่ที่ติดตามตำแหน่งอ้างอิงของข้อที่ 2



รูปที่ 5.13 ตำแหน่งคลาดเคลื่อนของข้อที่ 1 และ 2

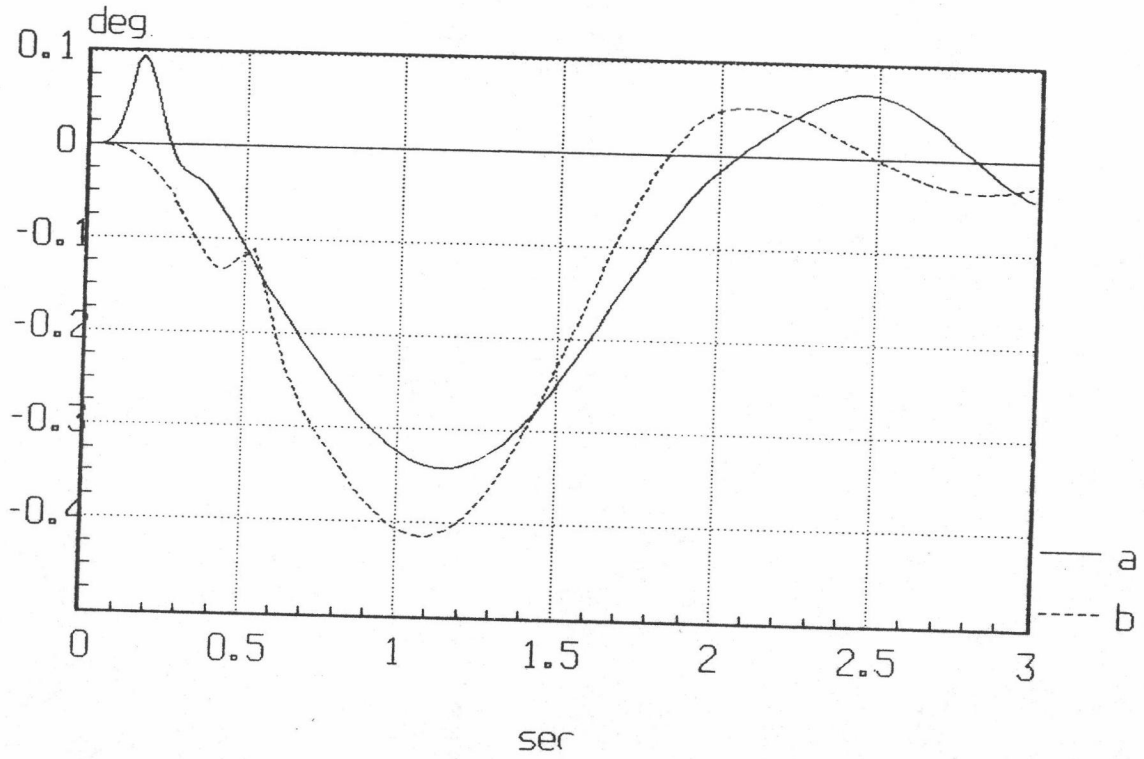
การเปรียบเทียบสมรรถนะ

ระบบควบคุมที่ออกแบบในงานวิจัย นำมาเปรียบสมรรถนะกับระบบควบคุมที่ออกแบบโดย Liu และ Lin กับระบบควบคุมที่ออกแบบโดย Goldenberg et al. ดังนี้

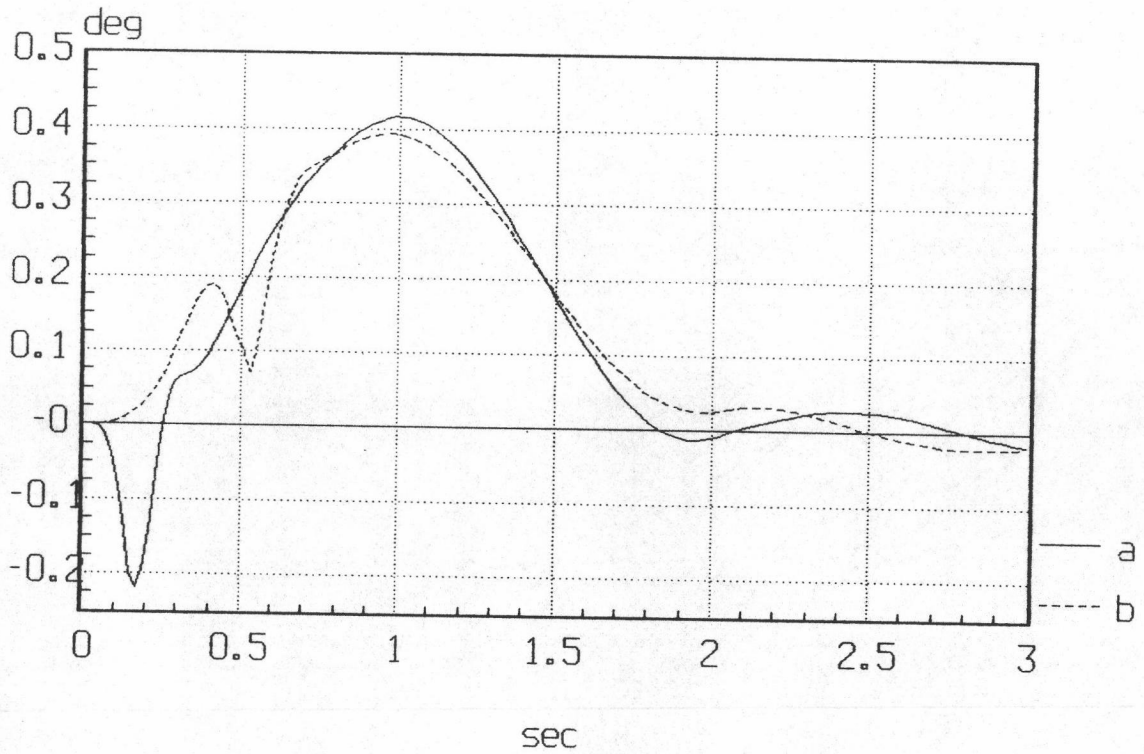
1. การเปรียบเทียบสมรรถนะกับระบบควบคุมที่ออกแบบโดย Liu และ Lin

ในการทดลองเพื่อเปรียบเทียบสมรรถนะ พิจารณาทั้งในสถานะไม่มีโหลด และโหลดเปลี่ยนแปลง การทดลองในสถานะไม่มีโหลด มีจุดประสงค์เพื่อเปรียบเทียบกับการทำงานของ ตัวควบคุมป้อนภูมิในงานวิจัย ซึ่งคำนวณแรงบิดจากการประมาณค่าพารามิเตอร์พลวัต โดยในการทดลองกำหนดให้ ตัวควบคุมป้อนภูมิของ Liu และ Lin ทราบพารามิเตอร์พลวัตอย่างแท้จริง ผลการทดลองแสดงดังรูปต่อไป นี้ โดยที่กราฟ a แสดงถึง ผลจากระบบควบคุมที่ออกแบบในงานวิจัย และกราฟ b แสดงถึง ผลจากระบบควบคุมที่ออกแบบโดย Liu และ Lin

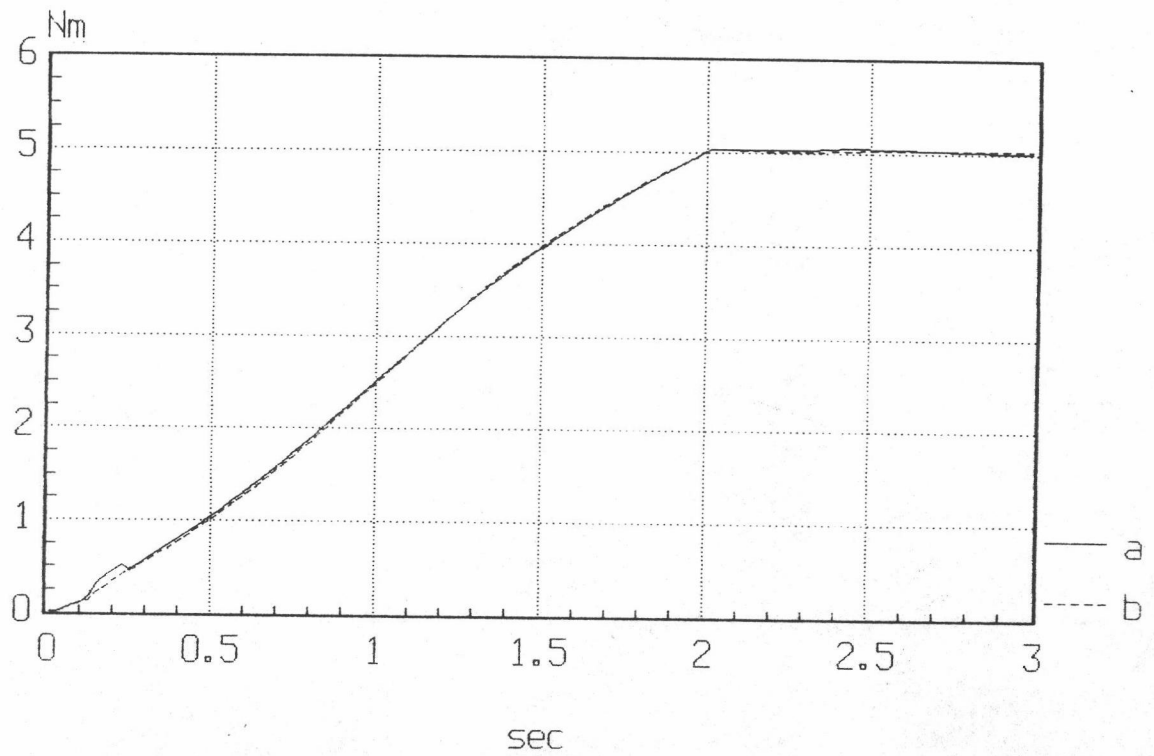
1.1 ในสถานะไม่มีโหลด



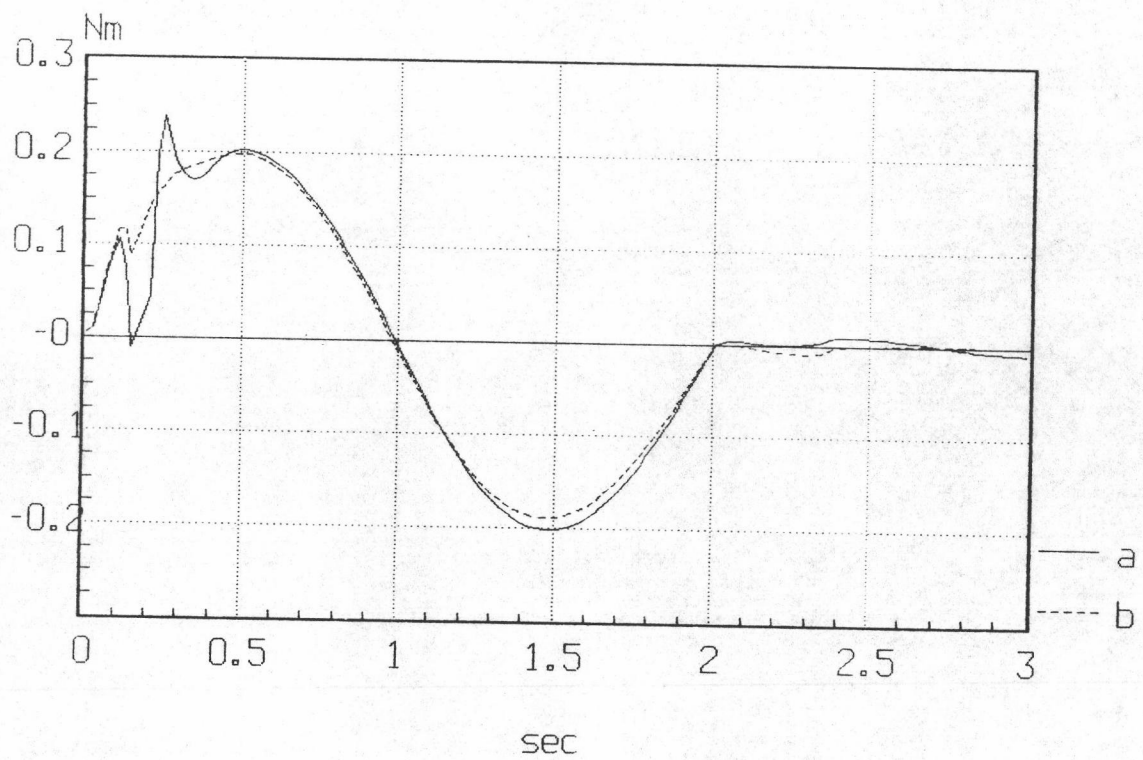
รูปที่ 5.14 ตำแหน่งกลาดเคลื่อนของข้อที่ 1



รูปที่ 5.15 ตำแหน่งกลาดเคลื่อนของข้อที่ 2

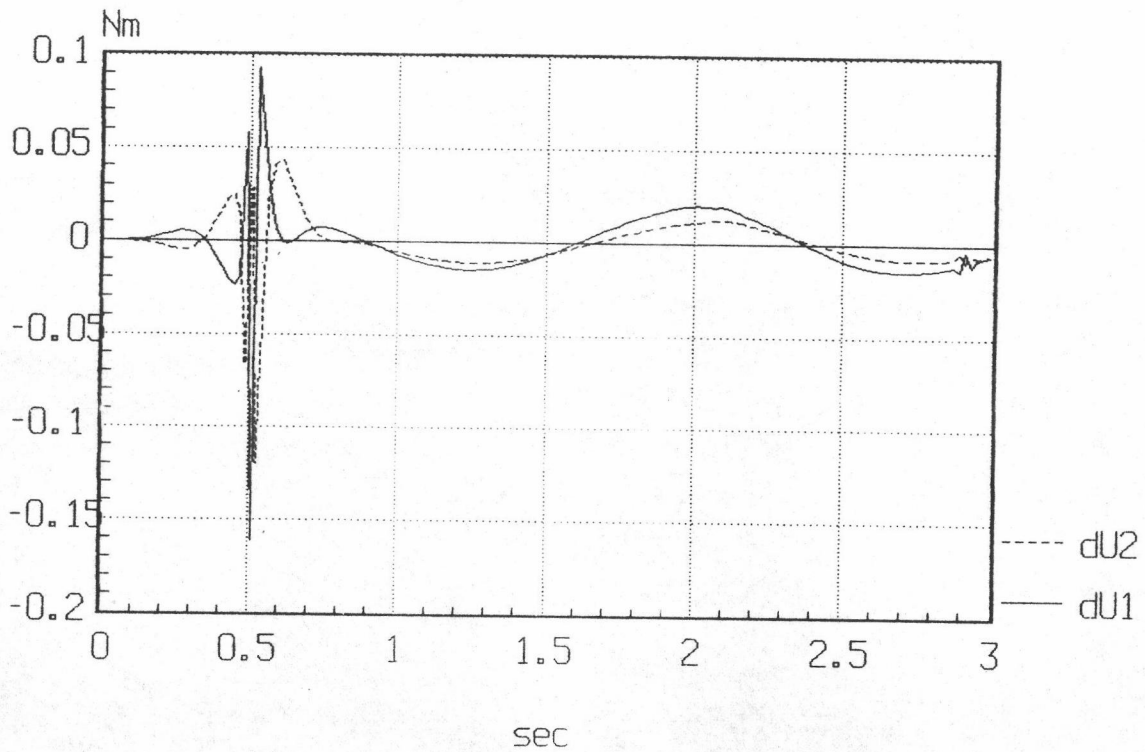


รูปที่ 5.16 แรงบิดที่ระบุของข้อที่ 1



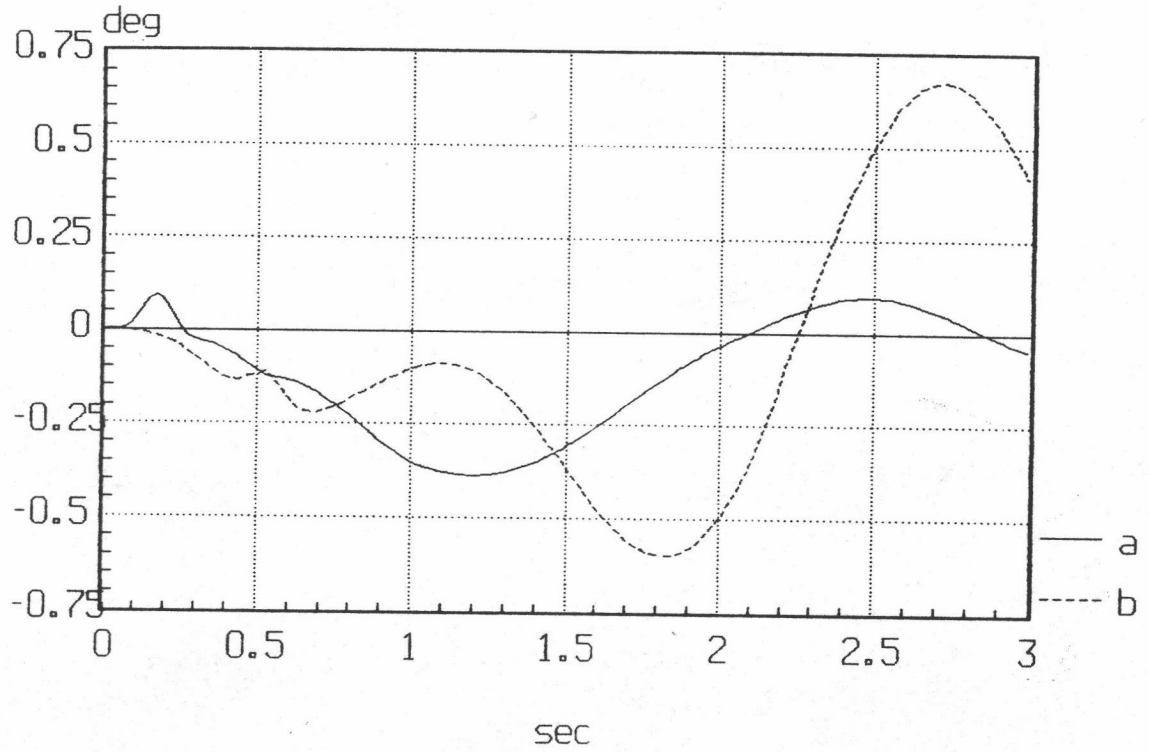
รูปที่ 5.17 แรงบิดที่ระบุของข้อที่ 2

จากผลการทดลองดังรูปที่ 5.14 ถึง 5.17 เห็นได้ว่า ตัวควบคุมป้อนภูมิของระบบควบคุม ทั้งสองแบบ สามารถคำนวณแรงบิดที่ระบุได้ค่าใกล้เคียงกัน เมื่อพิจารณาคำแหน่งคลาดเคลื่อนจากระบบ ควบคุมของ Liu และ Lin จะเห็นว่าในช่วงแรก ตำแหน่งคลาดเคลื่อน (b) มีการเปลี่ยนแปลงกระทันหัน ค้างเห็นเป็นรอยหยัก ทั้งนี้เนื่องจากผลของแรงบิดชดเชยจากตัวควบคุมทุติยภูมิ ตามรูปที่ 5.18 ซึ่งต้อง เตะค่าเริ่มต้น ดังกล่าวมาแล้ว

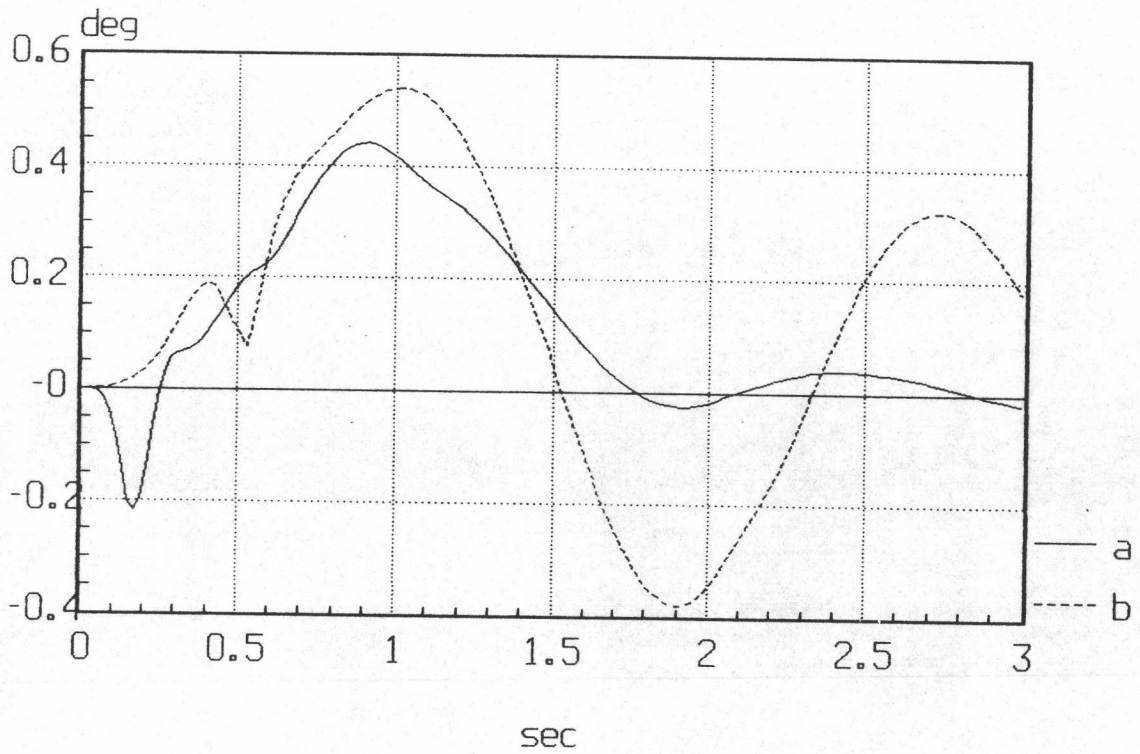


รูปที่ 5.18 แรงบิดชดเชยความคลาดเคลื่อนของข้อที่ 1 และ 2

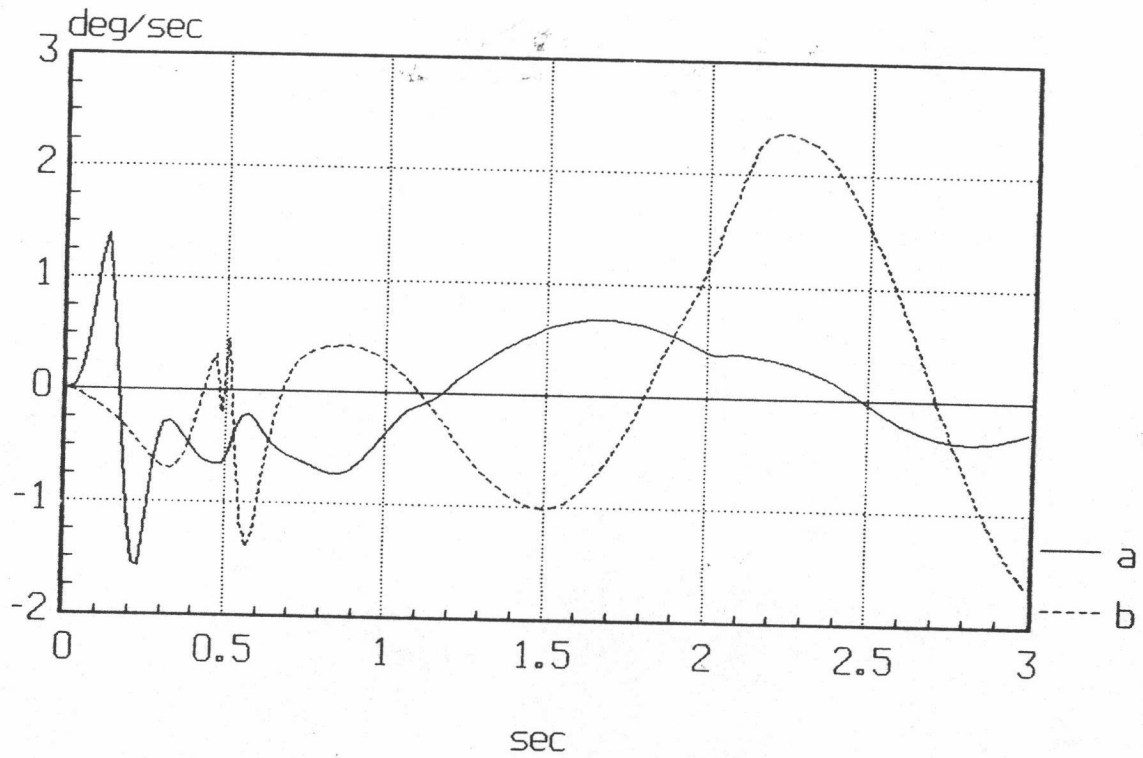
1.2 ในสถานะโหลดเปลี่ยนแปลง



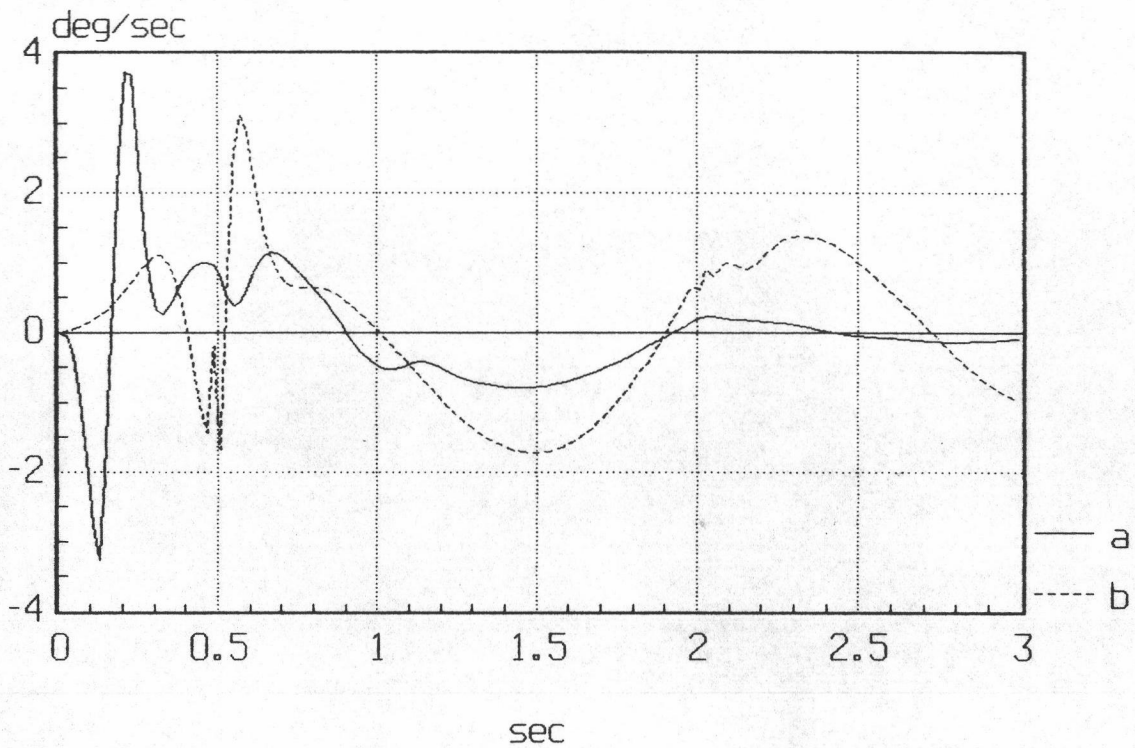
รูปที่ 5.19 ตำแหน่งคลาดเคลื่อนของข้อที่ 1



รูปที่ 5.20 ตำแหน่งคลาดเคลื่อนของข้อที่ 2



รูปที่ 5.21 ความเร็วคลาดเคลื่อนของข้อที่ 1



รูปที่ 5.22 ความเร็วคลาดเคลื่อนของข้อที่ 2

จากผลการทดลองดังรูป จะเห็นว่าตำแหน่ง และความเร็วคลาดเคลื่อน ของระบบควบคุม ที่ออกแบบโดย Liu และ Lin มีค่าสูงกว่ามาก เนื่องจากตัวควบคุมป้อนภูมิตามวิธีนี้ไม่ทราบการเปลี่ยนแปลงพารามิเตอร์ของแขนหุ่นยนต์อันเนื่องมาจากโหลด จึงยังคงคำนวณแรงบิดจากข้อมูลเดิม ในขณะที่ไม่มีโหลด แต่ในการทดลองกำหนดให้ มวลของลิงก์ที่ 2 เพิ่มอย่างกระทันหันอีก 0.5 กิโลกรัม หรือหนึ่งในสามของมวลลิงก์ที่ 2 ซึ่งเป็นโหลดที่ขนาดใหญ่่มากเมื่อเทียบกับขนาดของแขนหุ่นยนต์ ความคลาดเคลื่อนจึงสูงมาก

2. การเปรียบเทียบสมรรถนะกับระบบควบคุมที่ออกแบบโดย Goldenberg et al. ระบบควบคุมที่ออกแบบในงานวิจัย ใช้ตัวควบคุมป้อนภูมิจากระบบควบคุมของ Goldenberg et al. ต่างกันที่ตัวควบคุมทุติยภูมิ ซึ่งในการทดลองกำหนดค่าต่างๆ ดังนี้

ตัวควบคุมป้อนภูมิ กำหนดให้

$$\text{forgetting factor } \rho = 0.99$$

การเดาค่าเริ่มต้นของวิธีประมาณค่า ตามสมการ (3.1.14) โดยกำหนด

$$\text{เมตริกซ์ } P(0) = 200I$$

$$\text{เวกเตอร์ } \alpha^T(0) = [0 \ 0 \ \dots \ 0]^T$$

$$\text{เวกเตอร์ } \theta_i^T = [1 \ 1 \ \dots \ 1]$$

ตัวควบคุมทุติยภูมิ กำหนดให้

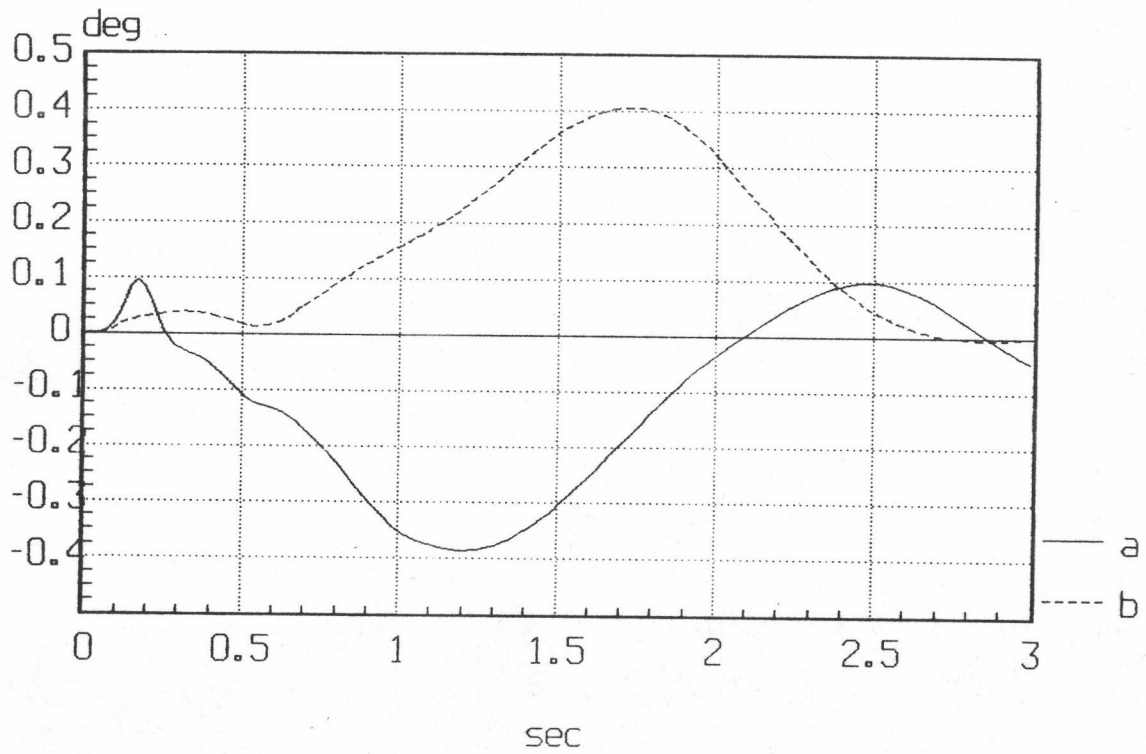
$$\rho = 0.99$$

$$\text{เมตริกซ์น้ำหนักถ่วง } R = 0.002I_{2 \times 2} \text{ และ } Q = 0.088I_{4 \times 4}$$

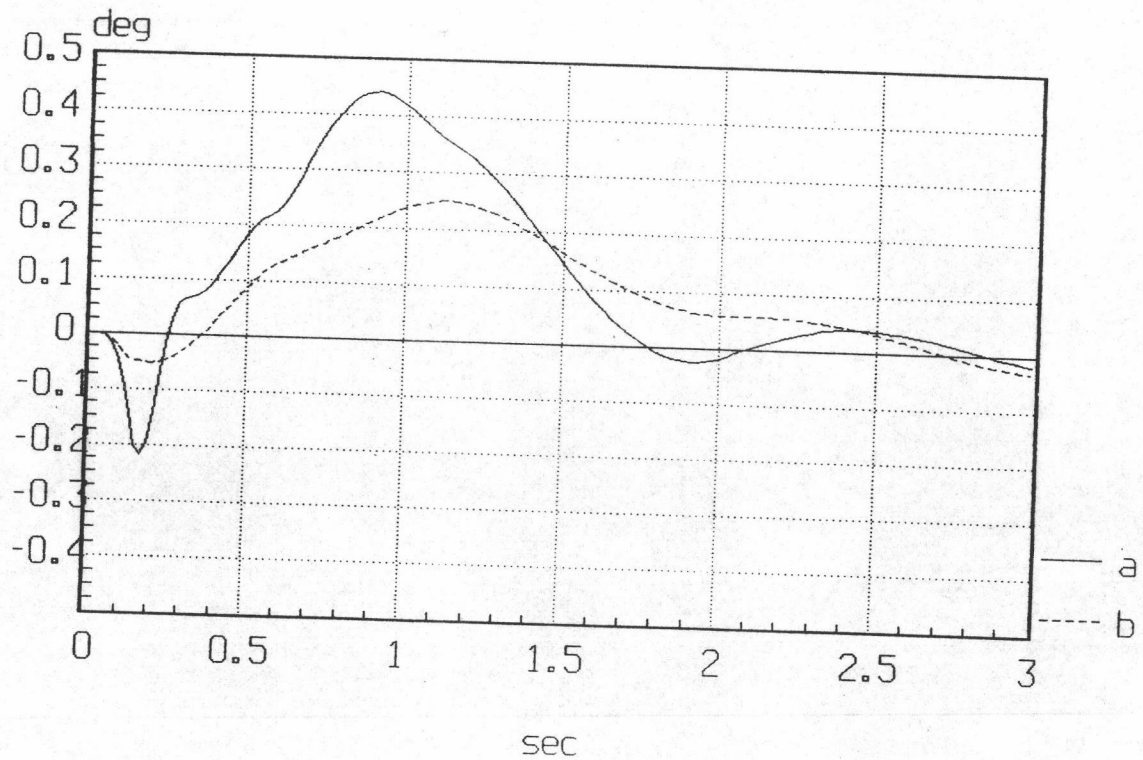
การเดาค่าเริ่มต้นของวิธีประมาณค่า ตามสมการ (3.2.14) กำหนดให้

$$\text{เมตริกซ์ } P(0) = 1e^6 I$$

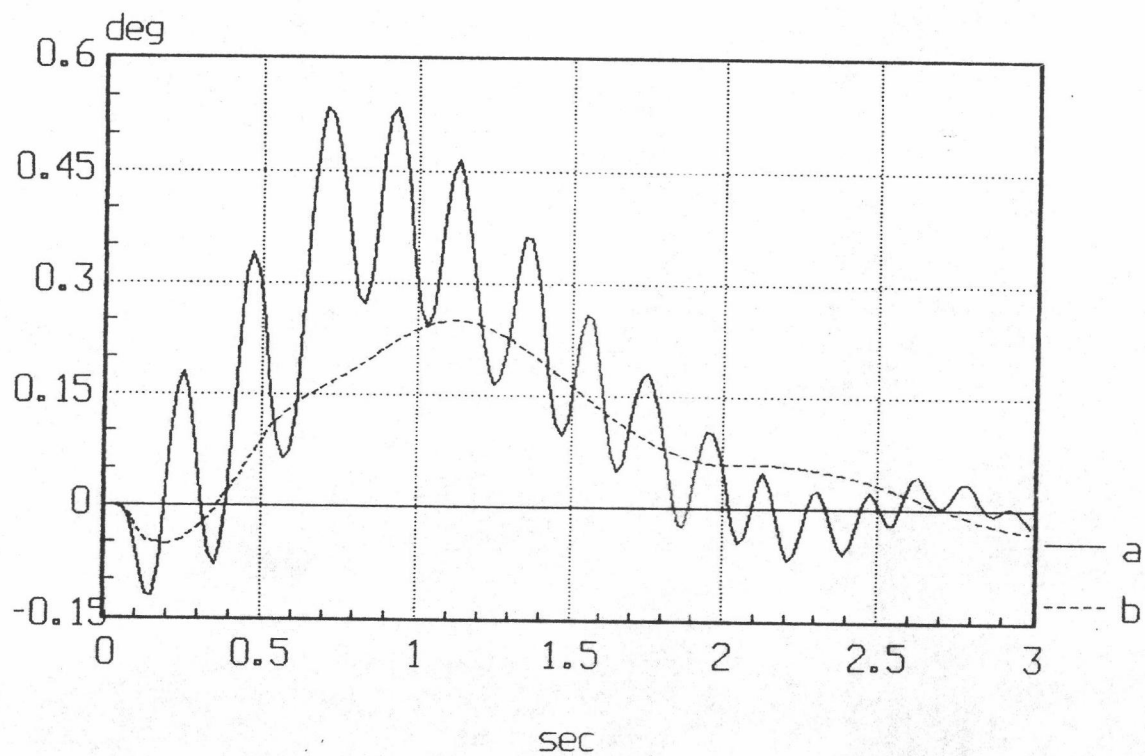
ผลการทดลองแสดงดังรูปต่อไปนี้ โดยที่กราฟ a แสดงถึง ผลจากระบบควบคุมที่ออกแบบในงานวิจัย และกราฟ b แสดงถึง ผลจากระบบควบคุมที่ออกแบบโดย Goldenberg et al.



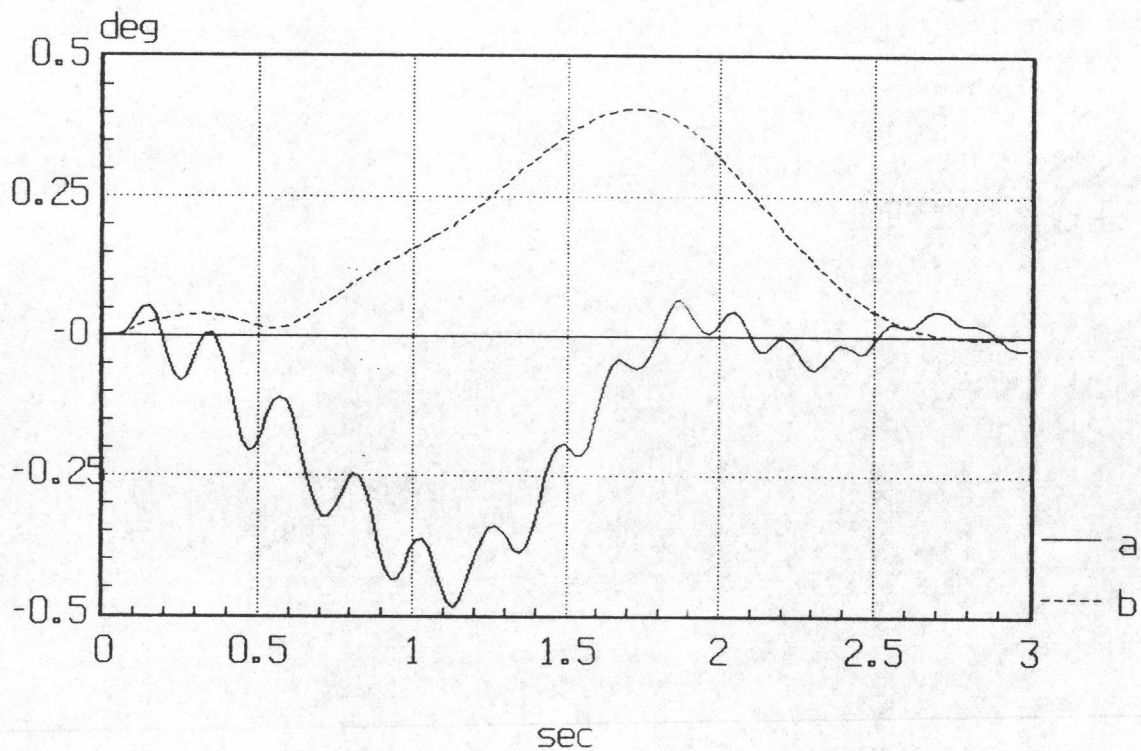
รูปที่ 5.23 ตำแหน่งคลาดเคลื่อนของข้อที่ 1



รูปที่ 5.24 ตำแหน่งคลาดเคลื่อนของข้อที่ 2



รูปที่ 5.25 ตำแหน่งคลาดเคลื่อนของข้อที่ 1



รูปที่ 5.26 ตำแหน่งคลาดเคลื่อนของข้อที่ 2